

# Math-Net.Ru

Общероссийский математический портал

Г. Д. Гавриленко, В. И. Мацнер, В. Н. Вайсман, Устойчивость конических оболочек со спиральным подкреплением, *Исслед. по теор. пластин и оболочек*, 1992, выпуск 25, 53–58

Использование Общероссийского математического портала Math-Net.Ru подразумевает, что вы прочитали и согласны с пользовательским соглашением

<http://www.mathnet.ru/rus/agreement>

Параметры загрузки:

IP: 178.205.19.235

7 июня 2024 г., 16:16:30



## Л и т е р а т у р а

1. А н т о н е н к о Э.В. Свободные колебания и устойчивость оболочек с упругими краевыми ребрами // Прикл. механика. - 1975. - № 6. - С.44 - 50.
2. А н т о н е н к о Э.В., З о г о л ь В.Н. и др. Экспериментальное исследование устойчивости цилиндрических оболочек с упруго закрепленными краями // Прикл. механика. - 1980. - № 10. - С.41 - 46.
3. А н т о н е н к о Э.В. Частоты свободных колебаний гладких и подкрепленных цилиндрических оболочек с упруго закрепленными краями // Прикл. механика. - 1989. - № 8. - С.122 - 126.
4. З а р у ц к и й В.А. Приближенные формулы для вычисления минимальных собственных частот колебаний подкрепленных цилиндрических оболочек // Прикл. механика. - 1977. - № 5. - С.43 - 51.
5. К а н С.Н., А н т о н е н к о Э.В. Расчет круговых цилиндрических оболочек на изгиб // Расчет пространственных конструкций. - М.: Госстройиздат, 1964. - Вып.9. - С.161 - 186.
6. К а н С.Н. Строительная механика оболочек. - М.: Машиностроение, 1966. - 508 с.

Г.Д.Гавриленко, В.И.Мацнер, В.Н.Вайсман

### УСТОЙЧИВОСТЬ КОНИЧЕСКИХ ОБОЛОЧЕК СО СПИРАЛЬНЫМ ПОДКРЕПЛЕНИЕМ

Традиционные способы подкрепления оболочек продольно-поперечным набором позволяют добиться определенного уровня повышения несущей способности конструкций. Дальнейшее увеличение ее возможно при использовании нетрадиционных типов подкрепляющего набора, в частности спирального. Если для цилиндрических оболочек этот вопрос в какой-то мере освещен в литературе [1 - 4], то для конических оболочек таких данных нет.

Необходимо разработать методику расчета для конических оболочек и оценить эффективность спирального подкрепления для них.

Рассматривается коническая оболочка со спиральным подкреплением.

Предлагается алгоритм численного расчета на устойчивость по методу конечных разностей, учитывающий неоднородность докритического напряженно-деформированного состояния. Определяется оптимальный угол наклона элементов жесткости к оси оболочки, обеспечивающий максимальное значение критической нагрузки. Оценивается относительная эффективность спирального подкрепления по сравнению с равными ему по весу шпангоутными.

Докритическое состояние конической оболочки со спиральным подкреплением определяется из решения уравнений равновесия

$$\begin{aligned} B_{11} E'_{11} + B_{12} E'_{22} + A_{11} K'_{11} + A_{12} K'_{22} &= 0, \\ C K_{11} + C_2 K_{11}'' + C_4 K_{22}'' + C_6 K_{22}'' + C_{10} E_{11}'' + \\ + C_{12} E_{11}'' + C_{14} E_{22}'' + C_{17} E_{22}'' &= -q, \end{aligned} \quad (1)$$

где

$$\frac{\partial(\cdot)}{A_1 \partial \alpha_1} = (\cdot)', \quad \frac{\partial(\cdot)}{A_2 \partial \alpha_2} = (\cdot)'', \quad B = Et/(1-\nu^2), \quad D = Bt^2/12,$$

$$\begin{aligned} B_{11} &= B + 2EF_c \cos^4 \theta / l_c, \quad B_{12} = B_{21} = \nu B + EF_c \sin^2 2\theta / 2l_c, \quad B_{22} = B + \delta E_i F_i + \\ + 2EF_c \sin^4 \theta / l_c, \quad A_{11} &= 2ES_c \cos^4 \theta / l_c, \quad A_{12} = A_{21} = ES_c \sin^2 2\theta / 2l_c, \end{aligned} \quad (2)$$

$$\begin{aligned} C_{14} &= -K_2 B_{22}, \quad A_{22} = \delta E_i S_i + 2ES_c \sin^4 \theta / l_c, \quad D_{11} = D + (2EI_c \cos^4 \theta + GI_{kp} \sin^2 2\theta / \\ / 2) / l_c, \quad D_{12} &= \nu D + (EI_c - GI_{kp}) \sin^2 2\theta / 2l_c, \quad C = -K_2 A_{21}, \quad C_2 = D_{11}, \quad C_4 = -K_2 A_{22}, \end{aligned}$$

$$C_6 = D_{12}, \quad C_{10} = -K_2 B_{21}, \quad C_{12} = A_{11}, \quad C_{17} = A_{12}, \quad K_2 = \sin \beta / A_2, \quad A_2 = R_0 + \alpha_1 \cos \beta,$$

где  $q$  - величина внешнего давления,  $R_0$  - радиус верхнего основания конуса,  $\theta$  - угол наклона спирали к образующей конуса,  $\beta$  - угол при основании конуса. Величины  $E_{11}$ ,  $E_{22}$ ,  $K_{11}$ ,  $K_{22}$  можно получить из [5, 6].

Для нахождения параметра критической нагрузки используются уравнения устойчивости

$$B_{11} E'_{11} + B_{12} E'_{22} + A_{11} K'_{11} + A_{12} K'_{22} + 2A_{33} K'_{12} + B_{33} E'_{12} = 0,$$

$$\begin{aligned}
& b_1 E_{12} + b_1 E_{22} + b_2 E_{11} + b_3 E_{12}' + b_4 K_{12} + b_5 K_{22}' + \\
& + b_6 K_{11} + b_7 K_{12}' + b_{14} \theta_2 = 0, \\
& c K_{11} + c_1 K_{11}' + c_2 K_{11}'' + c_3 K_{11}'' + c_4 K_{22} + c_5 K_{22}' + c_6 K_{22}'' + \\
& + c_7 K_{22}'' + c_8 K_{12} + c_9 K_{12}' + c_{10} E_{11} + c_{11} E_{11}' + c_{12} E_{11}'' + \\
& + c_{13} E_{11}'' + c_{14} E_{22} + c_{15} E_{22}' + c_{16} E_{22}'' + c_{17} E_{22}'' + c_{18} E_{12}' + \\
& + c_{19} E_{12}' + c_{24} \theta_1 + c_{25} \theta_1' + c_{26} \theta_2 = 0,
\end{aligned} \tag{3}$$

где

$$\begin{aligned}
& b = -K_2 B_{33} \theta_1', b_1 = B_{22} + K_2 A_{22}, b_{22} = B_{21} + K_2 A_{21}, \\
& b_3 = B_{33} + 2 K_2 A_{33}, b_4 = -2 K_2 A_{33} \theta_1', b_5 = A_{22} + K_2 \mathcal{D}_{22}, \\
& b_6 = A_{21} + K_2 \mathcal{D}_{21}, b_7 = 2(A_{33} + 2 K_2 \mathcal{D}_{33}), b_{14} = -K_2 T_{22}^0, \\
& T_{22}^0 = B_{22} E_{22}^0 + B_{21} E_{11}^0 + A_{22} K_{22}^0 + A_{21} K_{11}^0, c_1 = -A_{11} \theta_1', \\
& c_3 = \mathcal{D}_{21}, c_4 = -A_{12} (\theta_1^0)' - K_2 A_{33}, c_5 = -A_{12} \theta_1^0, \\
& c_7 = \mathcal{D}_{22}, c_8 = -2 A_{33} \theta_1^0, c_{10} = -B_{11} (\theta_1^0)' - K_2 B_{22}, \\
& c_{15} = -B_{12} \theta_1^0, c_{18} = -B_{33} \theta_1^0, c_{24} = -(\mathcal{T}_{11}^0)', \\
& c_{25} = -\mathcal{T}_{11}^0, c_{26} = -\mathcal{T}_{22}^0, B_{21} = B_{12}, \\
& \mathcal{T}_{11}^0 = B_{11} E_{11}^0 + B_{12} E_{22}^0 + A_{11} K_{11}^0 + A_{12} K_{22}^0, A_{33} = A_{12}, \\
& \mathcal{D}_{22} = \mathcal{D} + \delta E_b I_b, B_{33} = (1 - \nu) B / 2 + E F_c \sin^2 2\theta / 4 l_c, \\
& c_{11} = -B_{11} \theta_1^0, c_{13} = A_{21}, c_{14} = -B_{11} (\theta_1^0)' - K_2 B_{21},
\end{aligned} \tag{4}$$

где  $\theta_1^0 = (\omega^0)'$ ,  $\omega^0$  - упругие радиальные перемещения, индекс "0" относится к величинам докритического состояния.

Решения уравнений докритического состояния (I) находятся по методу конечных разностей (МКР). Параметр критической нагрузки определяется из уравнений (3) с использованием одинарных тригонометрических рядов и МКР.

Результаты расчета на устойчивость идеальных конических оболочек со спиральным подкреплением представлены на рис. 1, 2. Действующая нагрузка - внешнее давление. На рисунке 1 представлена зависимость  $\bar{q} = q_{кр}/q_{кл} = f(\theta)$ , где  $R_{ср} = (R_0 + R_1)/2$ ,  $q_{кл} = = \pi E \sqrt{6} R_{ср}^{-5/2} / 9 \bar{L} (1 - \nu^2)^{3/4}$ ,  $L$  - длина образующей конуса. Сплошные линии относятся к оболочкам с  $\bar{L} = L/R_{ср} = 4,14$ , а штриховые - с  $\bar{L} = 2,07$  ( $R_{ср}/t = 1000$ ,  $\beta = 75^\circ$ ,  $\bar{l}_c = l_c/t = 200$  и  $\bar{l}_c = 300$ ). Поперечное сечение спиралей ( $a \times H$ ) принято в виде квадрата с отношением  $a/t = 4$ , где  $a$  - сторона квадрата ( $a = H$ ). При расчетах принята сетка, имеющая 81 узел по длине оболочки.

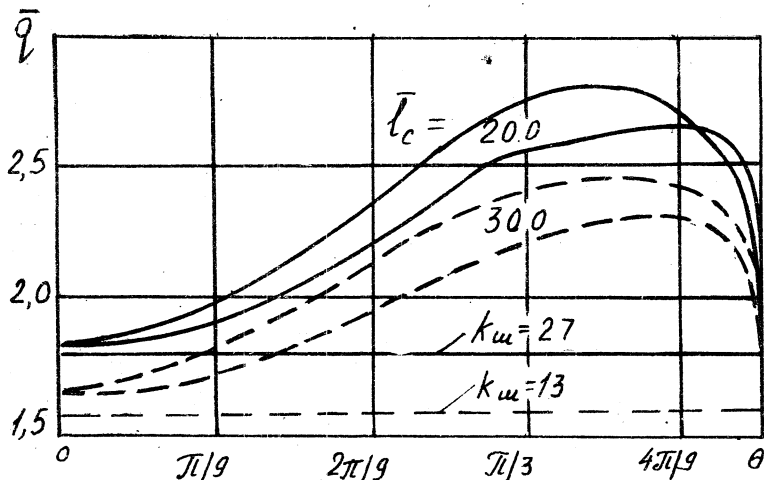


Рис. 1

Как видно из рисунка, существует оптимальный угол наклона спиралей к образующей, обеспечивающей максимальное значение критической нагрузки в зависимости от расстояния между спиральями  $\bar{l}_c$ . Так, например, при  $\bar{L} = 4,14$  максимальное значение  $\bar{q} = 2,84$  соответствует примерно  $\theta = 70^\circ$  ( $\bar{l}_c = 200$ ) и  $\bar{q} = 2,67$  при  $\theta = 80^\circ$

( $\ell_c = 300$ ). Увеличение расстояния между спиралями снижает  $\bar{q}_{\max}$  при фиксированной длине на 6 % при  $\bar{L} = 4,14$  и на 7 % при  $\bar{L} = 2,07$ .

Горизонтальные прямые на рис. I соответствуют конической оболочке, подкрепленной шпангоутами, равной по весу оболочке со спиральным подкреплением. Число шпангоутов ( $K_{\text{ш}}$ ) и число спиралей ( $N_{\theta}$ ) определяются формулами

$$K_{\text{ш}} = 2L \sin \beta / \ell_c ; N_{\theta} = 2\pi A_2 \cos \theta / \ell_c .$$

Сплошная прямая - оболочке с  $\bar{L} = 4,14$ ,  $\bar{\ell}_c = 300$ , штриховая -  $\bar{L} = 2,07$ ,  $\bar{\ell}_c = 300$ .

Из рисунка следует, что для рассмотренных параметров обшивки и ребер спиральное подкрепление предпочтительнее. В диапазоне  $0 \leq \theta \leq \pi/9$  и при  $\theta$ , близком к  $\pi/2$ , оба подкрепления приводят к мало отличающимся значениям  $\bar{q}$ , а при  $\theta > \pi/9$  спиральное подкрепление более эффективно, чем подкрепление шпангоутами.

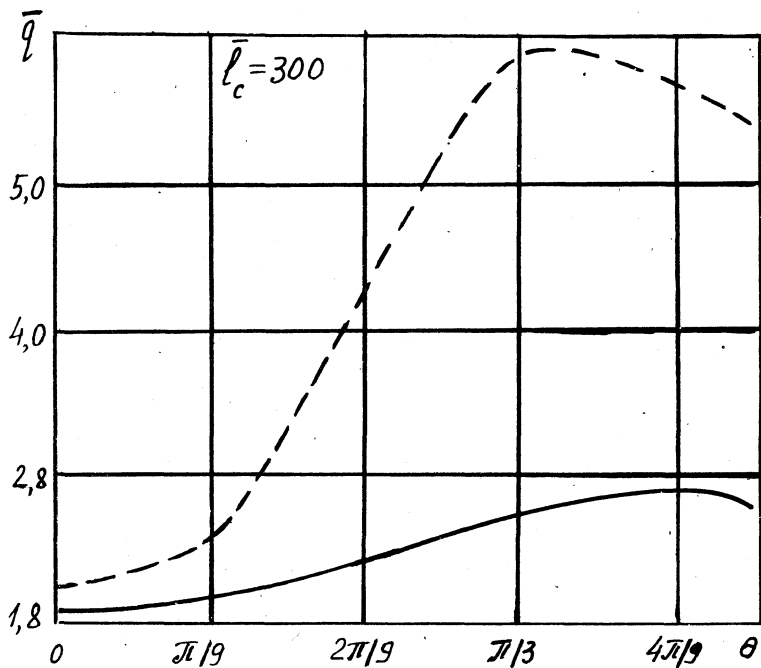


Рис. 2

Увеличение площадей поперечных сечений спиралей (рис. 2) приводит к росту  $\bar{q}$  более чем в 2 раза при тех же  $\ell_c$ .

## Л и т е р а т у р а

1. С о о н г Ц а й - ч ж е н. Устойчивость цилиндрических оболочек с эксцентричным спиральным подкреплением // Ракет. техника и космонавтика. - 1969. - Т.7. - № 1. - С.74 - 84.

2. М а н ё в и ч А.И. Устойчивость и оптимальное проектирование подкреплённых оболочек. Киев - Донецк, 1979. - 152 с.

3. З у б к о в Г.Д., Н е р у б а й л о Б.В., Ф е д и н И.И. К определению устойчивости цилиндрических оболочек со спиральным подкреплением // Численные и экспериментальные методы исследования прочности, устойчивости и колебания конструкций ЛА. Тр. МАИ. - 1983. - С.21 - 25.

4. Обрезцов И.Ф., Н е р у б а й л о Б.В., З у б к о в Г.Д., Ф е д и к И.И. К выбору оптимальных параметров цилиндрических оболочек с эксцентричным спиральным подкреплением по критерию устойчивости // Расчеты на прочность. - 1985. - Вып.26. - С.3 - 19.

5. Г а в р и л е н к о Г.Д. Основные нелинейные и линеаризованные уравнения теории несовершенных ребристых оболочек вращения // Прикл. механика. - 1983. - № 7. - С.55 - 60.

6. Г а в р и л е н к о Г.Д. Устойчивость несовершенных сферических поясов при внешнем давлении // Докл. АН УССР. - 1988. - № 7. - С.33 - 36.

А.Ю.Евкин

### О НОВОМ ПОДХОДЕ К ПРОГНОЗИРОВАНИЮ КРИТИЧЕСКОГО ДАВЛЕНИЯ ВЫПУКЛОЙ ПОЛОГОЙ ОБОЛОЧКИ С НАЧАЛЬНЫМИ НЕСОВЕРШЕНСТВАМИ

Известные методы определения критических нагрузок оболочек, имеющих несовершенства формы срединной поверхности, в настоящее время, как правило, не используются в инженерной практике [1], поскольку предполагают знание полной картины начальной погиби. Замер поля начальных несовершенств натурных конструкций является трудоемким процессом и должен выполняться для каждой конкретной оболочки. Кроме того, на величину критической нагрузки существенным образом могут влиять остаточные напряжения, возникающие как при изготовлении оболочки, так и в процессе ее эксплуатации.